

KALIMER IHTS의 SWR 초기 압력파 거동 분석

김연식 · 심윤섭 · 김의광 · 어재혁
한국원자력연구소

Evaluation of the SWR's Early Pressure Variations in the KALIMER IHTS

Kim Yeon Sik, Sim Yoon Sub, Kim Eui Kwang and Eoh Jae Hyuk
Korea Atomic Energy Research Institute

요약

액체금속로의 소듐-물 반응사고에 따른 압력거동 분석을 위하여 한국원자력연구소 KALIMER 개발팀이 개발한 SPIKE 코드의 해석 모형 및 알고리즘을 소개하였으며 검증 계산 결과를 제시하였다. KALIMER IHTS의 소듐-물 반응사고로 인한 계통내 압력 거동을 분석하였다. 소듐-물 반응사고의 초기는 압력파 전달과 질량 전달 영역으로 구성됨을 확인하였다. 압력파 전달 영역에서의 압력 거동은 계통의 설계 특성과 무관하나 질량 전달 영역에서는 Cover gas 채적과 파열판 파열 압력에 크게 의존함을 확인하였다. KALIMER IHTS의 초기 소듐-물반응사고 해석 결과는 적절한 Cover gas 채적과 파열판 압력 설정을 통해 압력 전동이 설계 압력 범위로 조절할 수 있음을 확인하였다.

Abstract — The analytical models and algorithm of the SPIKE code, which has been developed by KAERI's KALIMER team to investigate the sodium-water reaction phenomena in the liquid metal reactor, were introduced with its verification calculation results. The sodium water reaction of KALIMER IHTS was evaluated. Early stage of the sodium-water reaction consists of wave and mass transfer regimes. The pressure variations were independent of specific design features in the wave transfer regime. However in the mass transfer regime, the pressure variations were strongly dependent on cover gas volume and rupture disk set pressure. The early stage SWR analysis showed that the KALIMER IHTS with an appropriate cover gas volume and rupture disk set pressure had enough margin to its design pressure.

1. 서론

한국형 액체금속로인 KALIMER(Korea Advanced LIquid MEtal Reactor)^[1]는 소듐을 1차 및 중간계통(IHTS, intermediate heat transport system)의 냉각재로 사용하고 증기발생계통은 경수로와 같은 물/증기 사이클이다. 액체금속로의 1차 및 중간계통 냉각재인 고온의 소듐은 물이나 공기 등과 매우 강렬한 발열 반응을 하여 폭발성이 있는 수소나 유독한 개스 등을 발생시키기 때문에 이를 방지하기 위한 여러 가지 설계특성이 요구된다. 증기발생기 투브누설이 발생하면 물/증기가 증기 발생기 셀측의 소듐과 반응하여 계통에 큰 압력파를 일으키며 계속되는 누출로 인하여 소듐-물반응(SWR, sodium-

water reaction)이 지속적으로 일어나 계통의 압력도 점차 증가된다. 그리고 소듐-물 반응으로 발생한 부식성이 강한 반응 생성물은 배관을 통하여 압력경계를 이루는 기기나 부품에 유입되어 기기나 부품의 기능에 문제를 야기할 수 있다. 소듐-물 반응 압력방출계통(SWRPRS, SWR pressure relief system)은 이와 같은 소듐-물 반응 사고의 영향을 최소화하고 궁극적으로 소듐-물 반응사고를 종결시키기 위한 계통으로 적절한 설계 개념을 설정 할 필요가 있다.

소듐-물 반응사고는 초기에 급격한 압력파 발생과 전달(Wave transfer)이 생기며 그 후에는 계통내로의 유입량 증가로 인한 압력 증가 현상(Mass transfer)이 일어난다. 한국원자력연구소는 원자력 중장기 연구를 통하여

SWR의 초기 압력파 해석을 위하여 SPIKE 코드^[2]를 개발하였으며 이를 사용하여 KALIMER의 SWRPRS 설계에 활용하고 있다. 본 논문에서는 개발된 SPIKE 코드의 주요 특징을 정리하고 이에 더하여 필요한 기능을 추가 작업을 수행한 결과와 개발중인 KALIMER의 중간계통에서의 SWR 초기 압력해석 및 관련 설계인자 영향 분석결과를 제시하고 향후 설계에서 고려해야 할 사항을 추천하였다.

2. 본 론

KALIMER IHTS의 SWR 초기 해석 코드인 SPIKE의 수학적 모델과 해석 알고리즘, 그리고 기능 등을 살펴보고 초기 압력해석과 설계인자 영향 분석결과를 제시하였다.

2-1. SPIKE의 수학적 모형

SPIKE 코드는 크게 두 가지 수학적 모형을 가지고 있다. 중간계통내의 압력파가 전달되는 것을 묘사하기 위한 지배방정식과 경계조건 모형 그리고 압력파의 발생 원인 소듐-물 반응영역(Reaction zone)에 대한 모형이다.

2-1-1. 압력파 전달 모형

중간계통내의 압력파 전달을 위한 모형으로 일차원, 점성유동(압력강하), 그리고 과도(Unsteady) 유동을 묘사하기 위하여 다음 지배방정식을 사용하였다.

연속방정식:

$$\frac{\partial \rho}{\partial t} + \frac{\partial}{\partial x}(\rho u) = 0 \quad (1)$$

운동방정식:

$$\rho + \left(\frac{\partial u}{\partial t} + u \frac{\partial u}{\partial x} \right) + \frac{\partial P}{\partial x} + \rho F = 0 \quad (2)$$

$$\text{여기서, } F = \frac{f u |u|}{2 D_b} + g \sin \alpha \quad (3)$$

에너지방정식:

$$\rho a^2 \frac{\partial u}{\partial x} + \frac{\partial P}{\partial t} + u \frac{\partial P}{\partial x} = 0 \quad (4)$$

이다. 에너지방정식에서 중력과 점성에 의한 영향은 다른 항에 비하여 작기 때문에 무시하였다.

위의 지배방정식을 푸는데 있어서 압력파 해석에 많이 적용되는 방법으로서 특성방정식을 유도하여 특성곡선에 따라 적분을 수행하는 특성기법(MOC, method of characterization)^{[3][4]}을 사용하였다.

동방정식과 에너지방정식을 다음과 같이 두면

$$L_1 \equiv \rho \left(\frac{\partial u}{\partial t} + u \frac{\partial u}{\partial x} \right) + \frac{\partial P}{\partial x} + \rho F \quad (5)$$

$$L_2 \equiv \rho a^2 \frac{\partial u}{\partial x} + \frac{\partial P}{\partial t} + u \frac{\partial P}{\partial x} \quad (6)$$

이며 이를

$$L_1 + \lambda L_2 = 0 \quad (7)$$

에 대입하여 정리하면

$$\frac{dx}{dt} = u + a(C^+) : \frac{du}{dt} + \frac{1}{\rho a} \frac{dP}{dt} + F = 0 \quad (8)$$

$$\frac{dx}{dt} = u - a(C^-) : \frac{du}{dt} - \frac{1}{\rho a} \frac{dP}{dt} + F = 0 \quad (9)$$

이다^[2]. 연속 및 에너지 방정식을 사용하면 유동입자 특성곡선을 따라서는 다음과 같은 관계식을 얻는다. 즉,

$$\frac{dx}{dt} = u(C^0) : a^2 \frac{dp}{dt} - \frac{dp}{dt} = 0 \quad (10)$$

이다.

Fig. 1은 거리와 시간에 대한 특성 곡선의 개념을 나타낸 것으로서 현재 시간에서의 차분화된 값들은 해당 특성 곡선을 따라 적분을 수행하여 다음 시간에서의 값을 계산하게 된다. 즉, C⁺와 C⁻ 특성 곡선을 사용하여 속도(u)와 압력(P)을 위치(x) 별로 계산한다. SPIKE 코드에서는 소듐에 대하여 비압축성 균일 밀도를 가정하였기 때문에 C⁰ 곡선은 계산하지 않는데, 이 가정은 매우 짧은 시간에 발생하는 초기 압력파 현상에서는 타당한 경향을 보이고 있음을 해석 결과에서 확인할 수 있었다.

SPIKE는 KALIMER IHTS에 소듐-물 반응사고에서의 압력파 전달을 분석하는 도구로서 계통을 적절한 부분체(Branch)로 나누고 각각의 부분체를 연결체(Junction)로 연결하여 모델을 할 수 있도록 하였으며 각 부분체

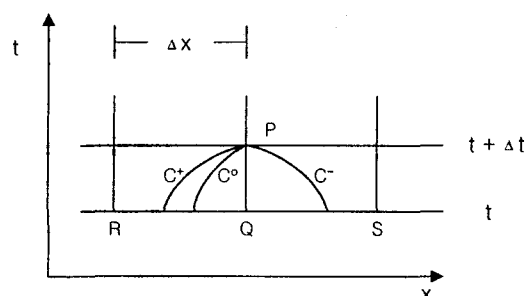


Fig. 1. Characteristic lines in x-t planes.

는 다시 작은 node들로 차분하여 계산한다. 연결체는 부분체 간의 형상 변화 예를 들면, Sudden contraction/expansion과 같은 경계를 정의하거나 긴 배관의 경우 몇 개의 부분체를 단순 연결하는 기능(Dummy connection)을 제공한다. 연결체의 종류는 IHTS내의 배관계통과 주요 기기나 부품을 모델링할 수 있도록 크게 Piping fittings과 Equipment로 구분하였으며 구분은 다음과 같다.

o pipe fittings

- dummy connection : 긴 배관을 몇 개의 부분체로 나누어 연결할 때 사용하는 모형
- elbow : 곡관에 의한 압력강하의 영향을 모형
- closed end : 배관 끝이 밸브나 Rupture disk 등으로 막혀 있는 것을 모형
- sudden expansion and contraction : 확관이나 수축관을 모형
- tee : T-branch와 같은 여러개의 배관이 모이는 것을 모형

o equipment

- far end : 매우 복잡한 배관계의 경우 압력 전파 영향이 무시되는 부분을 모형
- rupture disk : 작용되는 압력이 설정치 보다 낮을 때는 closed-end로, 설정치 보다 높아서 disk가 파열되면 surge tank로 모형
- surge tank : 유체의 유.출입에 상관없이 압력이 일정한 탱크를 모형
- expansion tank : 유체의 유.출입에 따라 압력이 변화(단열과정)하는 탱크를 모형

2-1-2. 소듐-물 반응영역 모형

소듐-물 반응영역에 대하여는 Bubble 개념이 적용되었다. Bubble의 직경이 증가하여 반응공간의 직경 즉, 증기발생기 엘측 내경보다 커지면 Pan cake와 같이 실린더 모양으로 직경은 변하지 않고 축방향으로 팽창하는 개념(Fig. 2)이 적용되었다. 이를 위해서 Bubble의 에너

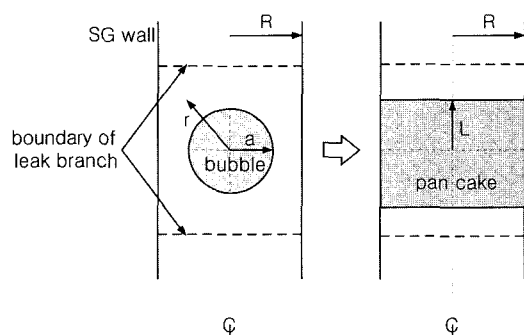


Fig. 2. Modeling of reaction zone.

지평형식, Bubble의 상태방정식, 그리고 Bubble 주변 유체의 운동방정식을 적용하였으며 이를 차분화하여 푸는 형식이다. 각 영역에 대한 주요 관계식은 다음과 같다. 즉,

Bubble 내부 상태방정식:

$$P = R_H T \frac{\alpha_{Hm} + \frac{1}{9}(m-m')}{\frac{4}{3}\pi a^3 - m' \sum \frac{\alpha_{si}}{\rho_{si}}} \quad (11)$$

Bubble 외부 부분체 거동 방정식:

$$a \frac{du_r}{dt} = \frac{R}{R-a} \left[\frac{P-P_R}{\rho} + \frac{u_r^2}{2} \left(1 - \left(\frac{a}{R} \right)^4 \right) \right] - 2u_r \frac{da}{dt} \quad (12)$$

2-2. SPIKE 알고리즘 및 검증

KALIMER IHTS에 대한 압력파 해석모형에 사용한 주요 가정은, 배관이 Hook의 법칙이 따르는 탄성체이며, 계통내 소음은 단일상이고, 소음 유동은 Newtonian fluid이며, 그리고 Cavitation은 무시된다는 것이다.

SPIKE 코드는 시간 및 거리에 대한 유한 차분(Finite difference)을 사용하여 Fully explicit하게 문제를 푼다. 전체 계산 영역에서 수치적 안정성을 위하여

$$\frac{\Delta t}{\Delta x} < \frac{1}{|u|_{max} + a} \quad (13)$$

을 만족하도록 Δt 와 Δx 를 조정한다.

개발된 SPIKE 코드에 대한 검증계산은 Park *et al.*^[23]에 정리되어 있으며, Fig. 3에는 일본 PNC(Power Reactor and Nuclear Fuel Development Corp.)의 축소 모형 실험결과^[24]와 SPIKE의 계산 결과를 비교하였다. 이를 통해 SPIKE가 축소 실험결과를 비교적 타당하게 예측하고 있음을 알 수 있다.

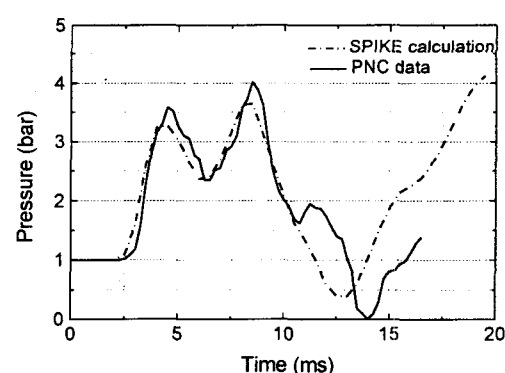


Fig. 3. Comparison of PNC results and SPIKE calculation.

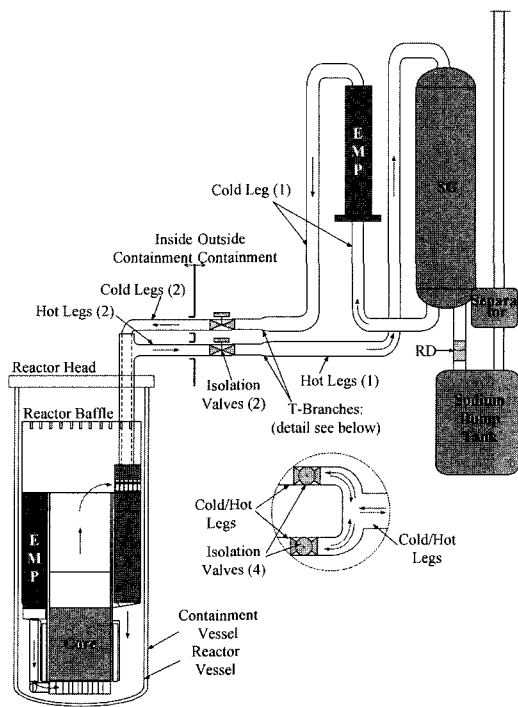


Fig. 4. Configuration of the KALIMER IHTS.

2-3. KALIMER IHTS 압력파 분석

KALIMER는 1차계통이 풀형, 중간계통은 서로 독립적인 2개의 루프로 된 발전소로서 Fig. 4에는 1차계통과

1개의 중간루프만을 개념적으로 나타내었다. KALIMER IHTS는 서로 독립된 2-루프이므로 소듐-물 반응을 해석하는데는 1개 루프만 고려해도 된다. 각 루프는 중간열 교환기 2대와 전자펌프 1대, 증기발생기 1대, 소듐배출탱크, 그리고 연결배관 등으로 이루어져 있다. SPIKE 코드의 입력테이터를 위하여 IHTS 계통을 모두 부분체 40개와 연결체 39개로 나누고 기기로서 Expansion tank, Rupture disk를 각각 1대씩 정의하고 Rupture disk에 연결된 소듐배출탱크는 동일 압력으로 유지되는 Surge tank로 묘사하였다. Fig. 5에는 IHTS의 SPIKE 입력테이터 Branch-junction 개념을 나타내었다.

KALIMER IHTS에서 SWR 해석의 초기조건은 계통이 정상적으로 운전되고 있는 상태이다. 정상운전시 IHTS에는 소듐이 순환되고 있으며 계통내 IHX 하단과 증기발생기 상단의 수직높이 차이가 20 m를 넘기 때문에 유속, 마찰계수, 그리고 중력에 의한 압력파 초기 교란이 심각하게 나타난다. 이를 극복하기 위하여 정상상태 계산을 수행하여 압력파 해석의 초기조건으로 사용하여야 하는데 SPIKE에 Restart 계산이 가능하도록 보완하였으며, Pipe fittings 중에서 Elbow에 대한 압력강하 영향이 부분체 계산에서 반영되도록 수정하였다.

2-3-1. Steady state 계산

압력파 분석을 위하여는 적절한 초기 조건이 필요하다. 소듐의 유속, 마찰계수, 그리고 중력에 의한 압력파 초기 교란이 심각하므로 과도 해석을 수행하여 Steady state 조건을 구하였다.

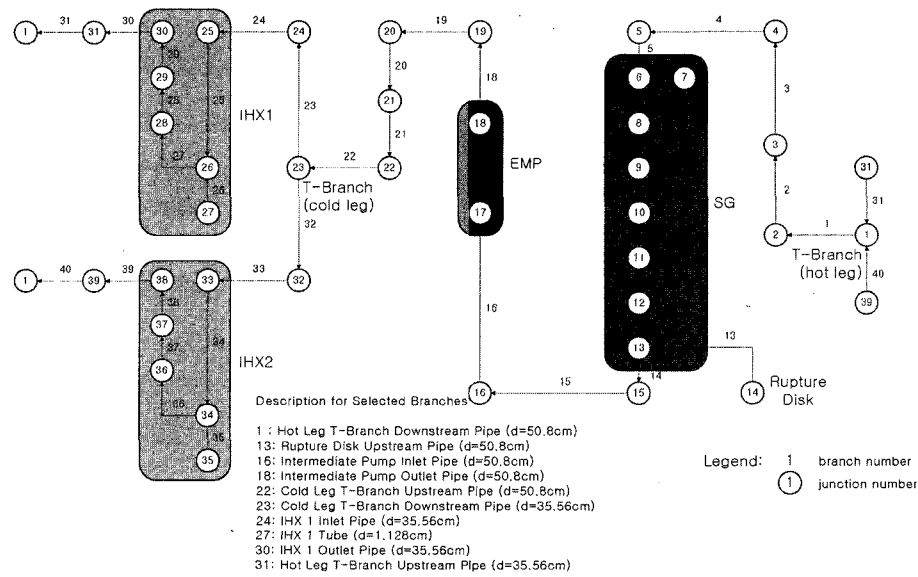


Fig. 5. Modeling of the KALIMER IHTS for SPIKE code.

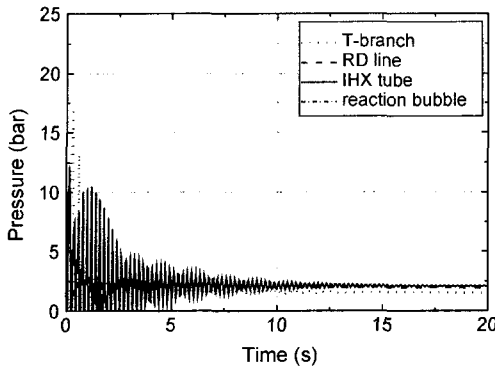


Fig. 6. Steady state calculation for SWR initial condition.

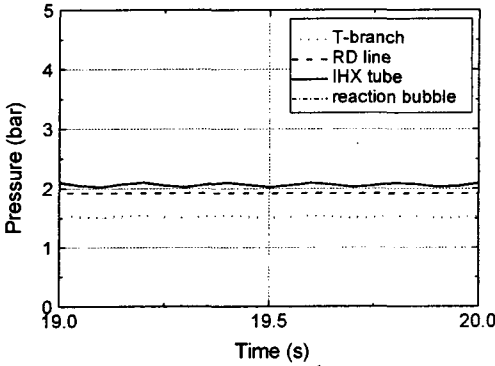


Fig. 7. Pressures for steady state condition.

Fig. 6은 투브 누출이 제외된 SPIKE 입력데이터를 사용한 과도해석 결과를 나타내고 있다. 20초에서 각 부위의 압력 진동이 매우 줄어든 상태를 알 수 있음을 알 수 있다. 이때 얻은 초기 압력 분포는 유속, 마찰 및 형상계수, 그리고 중력의 영향이 모두 고려된 결과이다. Fig. 7은 IHTS 중에서 낮은 곳에 위치한 IHX tube의 압력이 상대적으로 높은 곳에 위치한 IHTS T-branch의 압력보다 0.5bar 정도 큼을 보여주고 있어 중력에 의한 압력 차이가 가장 크게 나타남을 알 수 있다.

2-3-2. 압력파 전달 현상

SWR을 분석하기 위해서는 물/증기 누출량을 계산해야 되는데 KALIMER의 설계기준 물/증기 누출량은 계통 운전조건인 15.5 MPa, 483.2°C 상태하에서 Choking flow로 투브 3개의 양단파단(DEGB, double ended guillotine break)을 가정하여 계산한다. 임계유속 관계식^[6]은 SI 단위로 환산한 다음 관계식을 사용하였다.

$$G_c = \frac{0.53 * p_g}{1.62708 * 10^{-7} * (h_g - 430.195)} \quad (14)$$

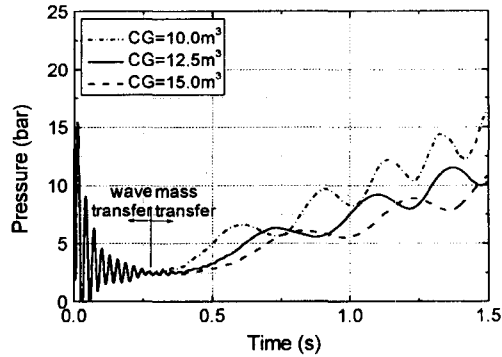


Fig. 8. Pressure variations at RD line for 3 CG volumes.

증기발생기 투브의 내경이 1.6 cm이고 3개의 DEGB의 경우 모두 6개의 단면에서 누출이 되므로 물/증기 누출량은 21.57 kg/sec가 된다. 이 값을 SWR의 물/증기 누출량으로 사용하되 사고가 진행되는 동안 같은 양이 계속하여 누출된다는 보수적인 입장을 취하였다. 소듐-물 반응사고에 의한 계통 압력의 변화는 IHTS 내에서 SWR에 의한 압력 전파 특성과 SWR 완화를 위하여 설치된 부품인 Rupture disk(RD)의 설정 압력 등에 의하여 달라질 수 있다. 먼저 SWR 발생시 IHTS의 압력 전파 경향을 보기 위하여 먼저 Rupture disk의 압력 설정은 배제하고 증기발생기내 아르곤 개스 공간인 Cover gas 체적을 변화시키면서 계산을 수행하였다.

Fig. 8은 세 가지 Cover gas 체적에 대한 RD가 설치된 배관에서의 SWR 압력 변화를 나타내고 있다. 0~0.27초에는 Cover gas 체적에 무관하게 동일한 압력 진동(초기 첨두치: 15.5bar)을 보이다가 그 이후부터는 Cover gas 체적에 반비례하여 압력이 상승하고 있음을 알 수 있다. 즉, SWR 발생후 0.27초까지는 순수하게 압력파 전파(Wave transfer)가 일어나고 그 이후로는 물/증기 누출로 인한 질량 유입 효과(Mass transfer)가 나타나면서 압력이 전파되고 있음을 의미한다. 이와 같은 경향은 Fig. 9에서와 같이 IHX tube에서도 확인된다. RD 배관과 IHX tube에서는 압력이 변화가 약간 다르게 나타나고 있는데 이는 SWR Reaction bubble로부터의 거리와 관계가 있는 것으로 이해된다. 즉, Reaction bubble 가까이 있는 RD 배관은 매우 빠른 압력파 전파 영향을 받는 반면 멀리 있는 IHX tube에서는 단순화된 압력파 전파의 경향을 보이고 있다. 그러나, 질량전달 영역에서는 오히려 IHX tube에서 크게 나타나고 있음을 알 수 있다.

Cover gas 체적 영향 분석에서는 SWR을 완화시키는 RD를 배제하였으나 그 결과를 이용하여 RD의 압력 설정에 대하여 고찰할 수 있다. 즉, RD 설정 압력이 초

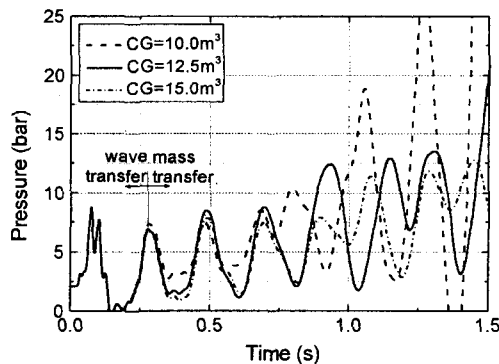


Fig. 9. Pressure variations at IHX tube for 3 CG volumes.

기 첨두치인 15.5bar 보다 작은 경우와 큰 경우로 나눌 수 있다. 만약 RD 설정치가 초기 첨두치 보다 작은 경우 RD는 초기 압력파 전파 영역에서 파열이 일어날 것이고, 반대의 경우 RD는 질량전달 영역에서 파열이 일어나게 된다. 이것은 RD 성능에 있어서 요구되는 특성이 달라지는데 압력파 전파의 경우에는 압력 진동이 매우 짧은 시간에서 움직이기 때문에 RD가 민감하게 작동될 것이 요구되는 반면 질량전달의 경우는 압력 진동이 상당한 시간에 이루어지므로 RD는 상대적으로 민감성의 필요가 떨어진다고 볼 수 있다.

RD 설정 압력이 초기 첨두치 보다 작은 경우에 압력이 설정치에 도달하면 파열된다고 할 때 어떤 경우에도 초기 첨두치가 발생되는 첫 번째 압력파에서 파열되므로 계통에 미치는 영향은 거의 동일한 것으로 평가되었다. Fig. 10은 Cover gas 체적이 12.5 m^3 인 경우에 있어서 RD 설정 압력이 모두 초기 첨두치 압력이내에 있는 3가지 경우와 초기 첨두치를 약간 넘긴 1가지 경우에 대한 IHX tube에서의 압력 진동을 나타낸 것이다. RD 설

정치가 초기 첨두치인 15.5bar 보다 작은 3가지 경우에 IHX tube에서의 압력 거동이 모두 동일하게 나타나고 있으나 RD 설정치가 초기 첨두치를 넘은 경우는 압력 거동이 다르게 나타나는 것을 알 수 있다. RD 설정치가 초기 첨두치 보다 작은 경우는 첫 번째 압력파의 첨두치 도달 시간이 약 0.01초이므로 모두 0.01초내에 RD가 파열되어 RD 설정치 변화에 의한 파열 시점의 효과는 거의 나타나지 않는다는 것을 알 수 있다. 그러나 RD 설정치가 초기 첨두치 보다 큰 경우(RD=16bar)는 상당한 시간후인 1.97초에 RD가 파열이 되므로 질량전달의 효과로 인하여 계통내의 압력 진동이 매우 커지게 됨을 알 수 있다.

2-3-3. 반응영역 크기 변화

SWR 발생시 반응영역에서의 압력은 순간적인 압력 진동을 일으키면서 크기가 계속하여 증가한다. 초기 작은 구모양이 점점 커져서 증기발생기 셀의 내측에 둘을 정도가 크면 원통 모양의 반응영역으로 변화한다.

반응영역의 크기 변화를 보기 위하여 앞에서 언급하

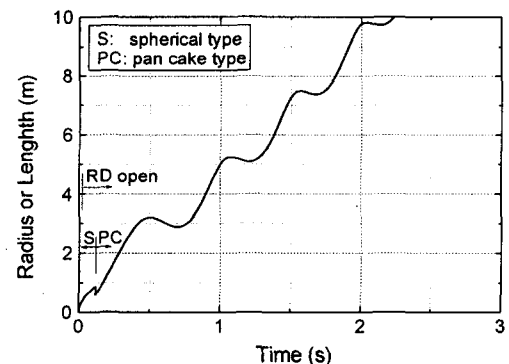


Fig. 11. Size variation of the reaction zone ($\text{CG}=12.5\text{ m}^3$, $\text{RD}=15\text{bar}$).

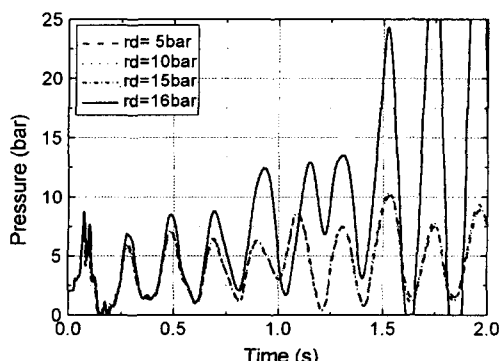


Fig. 10. Pressure variations at IHX tube for 4 RD set pressures.

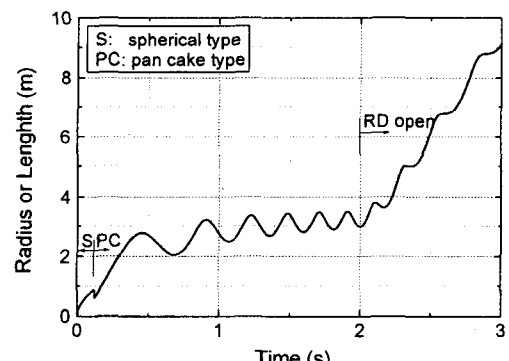


Fig. 12. Size variation of the reaction zone ($\text{CG}=12.5\text{ m}^3$, $\text{RD}=16\text{bar}$).

였던 RD 설정압력을 초기 첨두치보다 작은 값과 큰 값 두 경우에 대하여 평가하였다. Fig. 11은 Cover gas 체적이 12.5 m^3 에서의 RD 설정치가 초기 첨두치보다 조금 작은 15bar인 경우의 결과이며, Fig. 12는 RD 설정치가 초기 첨두치보다 조금 큰 16bar인 경우의 결과이다. 어느 경우에서나 RD 파열에 상관없이 구 형태의 반응영역이 존재하는 동안(0~0.12초)에는 동일한 크기로 변하다가 원통 모양으로 바뀐 다음부터는 RD 파열 여부에 따라 경향이 달라짐을 알 수 있다. 여기서, 원통 모양의 길이는 반응 영역의 중심에서 축방향으로 한쪽 경계면까지의 길이로 정의한 것이다. 두 데이터 비교 결과 압력파 전파가 일어나는 시점(0.27초)까지는 유사한 경향을 보이는 것을 확인하였는데 이는 Figs. 11, 12에서도 확인된다. Fig. 11에서 RD가 반응 시작과 더불어 파열되는 까닭에 질량전달이 일어나는 부분부터는 원통형 반응영역의 크기가 매우 크게 변함을 알 수 있다. Fig. 12는 RD 파열전까지는 길이가 계속 증가하면서 계통의 압력 진동의 역으로 크기가 변화하다가 RD 파열이후에는 매우 크게 변하는 것을 보여주고 있다.

반응영역이 원통 모양으로 2 m 이상 전체 길이는 4 m)이 되는 경우는 SPIKE 코드를 사용하는 것에는 한계가 있는 것으로 판단된다. 실제로 소듐-물 반응사고의 초기는 압력파 전파와 질량전달이 복합적으로 일어나는데 중·후기에는 질량전달이 중점적으로 일어나므로 특성 방정식을 중·후기에도 적용하는 것은 물리적 현상과는 차이가 나게 된다. 따라서 SPIKE는 초반기 압력 해석을 위하여 사용하되 중·후반기 해석 도구의 초기 및 경계 조건을 제공하는 기능을 수행하는 것이 타당할 것으로 판단된다. KALIMER 개발 프로그램에서도 이와 관련한 연구가 수행중에 있다.

2-3-4. SWR 초반기 해석

KALIMER IHTS에 대한 SWR 초반기 해석은 현재

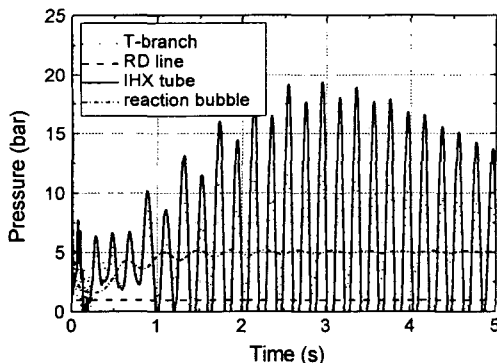


Fig. 13. SWR early pressure variations ($\text{CG}=9.0\text{ m}^3$, $\text{RD}=15\text{bar}$).

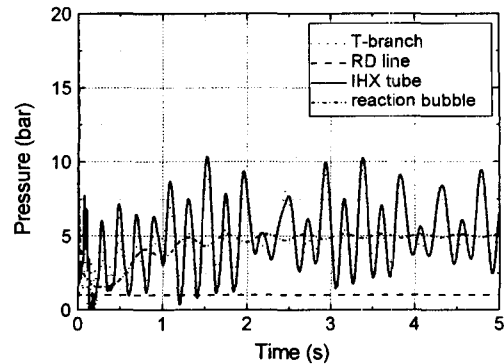


Fig. 14. SWR early pressure variations ($\text{CG}=12.5\text{ m}^3$, $\text{RD}=15\text{bar}$).

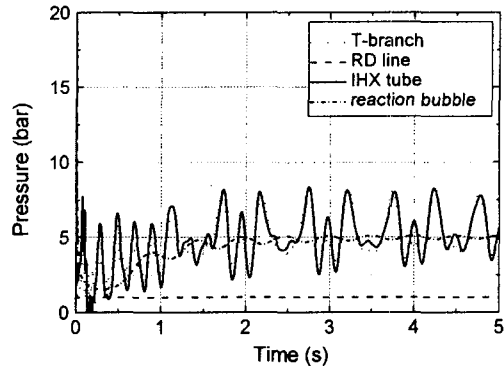


Fig. 15. SWR early pressure variations ($\text{CG}=15.0\text{ m}^3$, $\text{RD}=15\text{bar}$).

RD의 설정치인 15bar를 사용하여 세 가지 경우의 Cover gas 체적(9.0 , 12.5 , 15.0 m^3)에 대하여 분석하였다.

Figs. 13~15는 각 경우에 대하여 IHTS 주요 지점에서의 압력 진동을 보여준다. KALIMER의 RD 설정치가 초기 첨두치보다 작아서 RD는 압력파 전파 영역에서 파열된다. 또한 압력파 전파 영역에서의 압력 진동은 세 경우 모두 유사함을 알 수 있다. 그러나, 질량전달 영역에서는 Cover gas 체적의 영향이 매우 크게 나타나는 것을 알 수 있다. Cover gas가 가장 작은 경우를 제외하고는 모두 IHTS의 설계압력인 15bar를 넘지 않고 있다. 여기서 제시된 결과는 향후 개발될 SWR 중·후반기 해석 코드의 초기 및 경계조건으로 활용할 수 있으며 SWR 전체 해석을 통하여 적절한 설계 자료를 생산할 수 있을 것으로 판단된다.

3. 결 론

액체금속으로 KALIMER IHTS의 소듐-물 반응사고 해

석을 위하여 개발된 SPIKE 코드에 대한 주요 모형 및 해석 알고리즘을 소개하고 압력과 전달현상에 대한 분석 결과를 제시하였다. SWR 해석을 위하여 필요한 elbow 등에 대한 모형 추가 작업을 수행하였다.

KALIMER IHTS의 SWR에 대한 초기 해석을 위하여 Steady state 계산을 수행하여 과도계산을 위한 초기 조건을 얻었으며 이를 이용하여 관련 설계 인자의 영향을 분석하였다. SWR 초기는 압력과 전파와 질량전달 영역으로 나눌 수 있으며 압력과 전파의 압력 거동은 계통 설계 특성에는 무관함을 보이고 있으나 질량전달 영역에서는 계통 특성 특히, Cover gas 체적과 RD 압력 서정의 영향이 크다는 것을 확인하였다.

KALIMER IHTS SWR 초기 해석 결과 적절한 Cover gas 체적을 가질 경우 압력 진동이 설계압력내에서 변화할 수 있음을 확인하였다.

후 기

본 연구는 과학기술부 원자력연구개발 중장기 계획사업으로 수행되었다.

사용기호

a	: 음속(m/sec) 또는 Reaction bubble 반경(m)
C^-	: 역방향 특성곡선
C^o	: 유체 일정이 계적 특성곡선
C^+	: 순방향 특성곡선
CG	: Cover gas(커버 가스)
D_h	: 수력직경(m)
f	: 마찰계수
F	: 마찰력+중력 힘
g	: 중력가속도(9.8 m/sec^2)
G_c	: 임계유속($\text{kg/m}^2\text{-sec}$)
h_g	: 증기엔탈피(kJ/kg)
L	: Pan cake 축방향 길이의 $1/2(\text{m})$
m	: Bubble내 누적 질량(kg)
m'	: 누출량중 소듐과 반응한 물량(kg)
p_g	: 증기 압력(MPa)

P	: 압력(Pa 또는 bar)
P_R	: R지점에서의 압력(Pa 또는 bar)
r	: 반경 방향축
R	: 증기발생기 반경크기(m)
RD	: rupture disk(파열판)
R_H	: 수소 개스 상수(4.1243 kJ/kg-K)
t	: 시간(sec)
T	: 온도(K)
u	: 유체속도(m/sec)
u_r	: 소듐 속도(m/sec)
x	: x좌표(축)
α	: 수평기준 경사각 또는 누출물 단위 질량당 소듐과 반응하여 생긴 반응생성 물량
λ	: 임의 곱인수
ρ	: 밀도(kg/m^3)

아래첨자

H	: 수소(H_2)
N	: 소듐(Na)
si	: s1= Na_2O ; s2= NaOH

참고문헌

1. Hahn, D.H. et al.: "KALIMER Preliminary Conceptual Design Report", KAERI/TR-1636/2000 (2000).
2. Park, J.H. et al.: "Development of the SPIKE Code for Analysis of the Sodium-Water Reaction", KAERI/TR-1123/98 (1998).
3. Wylie, E.B. et al.: "Fluid Transients in Systems", Prentice Hall, Englewood Cliffs, NJ (1993).
4. Chaudhry, M.H.: "Applied Hydraulic Transients 2nd Edition", Van Nostrand Reinhold Co., New York (1987).
5. Hishida, H. et al.: Proceeding of Fast Breeder Reactor Safety Meeting, CONF-740401-P2 (1974).
6. Nahvandi, A.N. and Rashevsky, M.: "Computer Program for Critical Flow Discharge of Two Phase Steam-Water Mixtures", CVNA-128 (1962).